



بررسی اثر پلاریزاسیون اسپینی در انرژی ورودی مورد نیاز و بهره انرژی برای سوخت ${}^3\text{He}$

رسول خدابخش*، امین سلطانیان

گروه فیزیک، دانشکده علوم، دانشگاه ارومیه، صندوق پستی: ۱۶۵، ارومیه - ایران

چکیده: برای تعیین بهره انرژی همجوشی و گداخت، همچنین برای تغییر دما با زمان در مورد ساچمه‌های فشرده H^{11}B , DD , D^3He , DT در فضای عاری از میدان مغناطیسی تاکنون محاسبات متعددی انجام شده است. مقایسه نتایج تجربی بهره انرژی با نتایج شبیه‌سازی همجوشی در میدان لختی برای مدل‌های گداخت جرقه‌ای و گداخت حجمی، درستی و دقت مدل بکار برده شده را نشان می‌دهد. یکی از شرایط مورد نیاز برای تولید الکتریسیته در مقیاس صنعتی افزایش بهره انرژی همجوشی همراه با کاهش انرژی ورودی می‌باشد. در این مقاله با استفاده از مدل گداخت حجمی برای ساچمه‌های سوختی ${}^3\text{He}$ در شرایط مختلف، بهره انرژی و تغییرات انرژی پلاسمای با زمان در شرایط پلاریزاسیون اسپینی هسته‌ای (در یک میدان مغناطیسی) حساب شده است. مقایسه نتایج حاصل از پلاریزاسیون اسپینی با نتایج مربوط به سوخت غیر پلاریزه، نشان می‌دهد که پلاریزاسیون اسپینی هسته‌ای در کاهش انرژی اولیه مورد نیاز برای رسیدن به شرایط همجوشی و افزایش بهره گداخت مؤثر است، حتی در برخی از موارد منجر به کاهش ۳۵ درصدی انرژی ورودی می‌شود.

واژه‌های کلیدی: همجوشی، پلاریزاسیون اسپینی، گداخت حجمی، هلیوم، انرژی اولیه، بهره انرژی

An Overview of Spin Polarization Effects on Initial Needed Energy and Fusion Gain for ${}^3\text{He}$ Fuel

R. Khoda-Bakhsh*, A. Soltanian

Physics Department, Faculty of Sciences, University of Urmia, P.O. Box: 165, Urmia - Iran

Abstract: Up to now, various calculations have been done for evaluating fusion energy gain and time dependence of temperature of compressed pellets such as DT, D^3He , DD, H^{11}B and ${}^3\text{He}^3\text{He}$ in the absence of magnetic fields. Experimental results and their comparison with the results of simulations based on central spark ignition model and volume ignition model, prove the accuracy of our computational code. Industrial usage of fusion energy needs an increase in fusion gain and a reduction in driver energy. So that here, using volume ignition model for nuclear spin polarized pellets (in a magnetic field), the energy gain is calculated. The comparison between results associated with the polarized and non polarized fuel, shows that spin polarization is an effective method for reducing the initial needed energy for ignition (up to 35%) and increasing the fusion gain.

Keywords: Fusion, Spin Polarization, Volume Ignition, Helium, Initial Energy, Energy Gain

*email: r.khodabakhsh@urmia.ac.ir

تاریخ دریافت مقاله: ۸۵/۶/۸ تاریخ پذیرش مقاله: ۸۵/۱۲/۲۶

**۱- مقدمه**

برای رسیدن به شرایط پایدار جوش و گداخت، پلاسمای را به منظور حفظ چگالی n باید در مدت کافی τ محصور نگه داشت. مطالعات هیدرومغناطیسی پلاسما نشان می‌دهند که با اعمال آرایه‌های مناسبی از میدان‌های مغناطیسی، پلاسما را می‌توان به صورتهای دلخواه در آورده و آنرا متراکم کرد. در زمینه محصورسازی پلاسما به وسیله میدان‌های مغناطیسی^(۲)، پیش از دهه ۶۰ میلادی مطالعات و تحقیقات گسترهای انجام گرفته است.

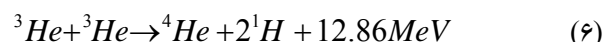
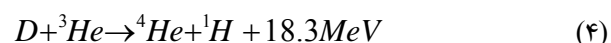
یکی از پرخرجترین و در عین حال پیشرفته‌ترین برنامه‌های بین‌المللی در زمینه تولید انرژی از طریق همجوشی با محصورسازی مغناطیسی (MCF)، پروژه ITER است [۱۱، ۱۲ و ۱۳]. طبق برنامه‌ریزی فعلی قرار است در سال ۲۰۱۶ MW ۵۰۰ قابلیت تولید توان ITER به ازای توان ورودی MW ۵۰۰ در مدت ۵۰۰ ثانیه را به دست الکتریکی خروجی MW ۵۰۰ در مدت ۵۰۰ ثانیه را آورد [۱].

روش محصورسازی مغناطیسی علیرغم پیشرفت‌های گسترهای اش با مشکلات زیادی نیز روبرو است. از جمله این مشکلات می‌توان به ناپایداری‌های پلاسما و خوردنگی دیواره‌های دستگاه توسط یون‌های پر انرژی اشاره کرد [۵]. در شرایط فعلی، مجموعه این مشکلات باعث می‌شود که برق تولید شده به روش MCF گرانتر از برق تولید شده در نیروگاههای شکافت باشد [۱۴ و ۱۵].

در مقابل، همچویی با محصورسازی در میدان لختی^(۳)، تکنیکی است مبتنی بر فشرده‌سازی مقدار کمی از ماده سوختی به شکل یک ساقمه، تا چگالی‌های بسیار بالا که معمولاً با استفاده از لیزر و گاهی نیز به وسیله پرتابه یونی صورت می‌گیرد انجام شود. اصولاً علاوه بر اینکه ICF مشکلات ذکر شده در روش MCF را ندارد، می‌توان انتظار داشت که با استفاده از آن با هزینه کمتر از هزینه‌های روش MCF بهره بالاتری را به دست آورد [۱ و ۵]. امروزه سه مدل مهم برای تشریح آنچه ممکن است پس از تراکم در ساقمه سوختی رخ دهد مطرح است: مدل گداخت جرقه‌ای^(۴) مرکزی، مدل تراکم بی دررو و گداخت حجمی و مدل گداخت سریع.

به منظور کاستن سرعت فاجعه زیست محیطی کتونی، انتشار CO₂ در جو باید به ۵۰۰ ppm محدود شود و این مستلزم آن است که تا سال ۲۰۵۰ باید حدود ۲/۳ از کل انرژی تولیدی، منع غیرکربنی داشته باشد. از طرف دیگر چون منابع فسیلی دوام چندانی ندارند و با روندی که از نفت آغاز می‌شود از ابتدای قرن آتی به اتمام خواهند رسید. انرژی حاصل از شکافت هسته‌ای برای جانشینی سوخت‌های فسیلی لازم است، اما پاسخگوی نیاز رو به رشد بشر به انرژی نبوده و از طرف دیگر مشکل انبار کردن محصولات خطرناک شکافت را که در برخی موارد کاربرد نظامی هم پیدا می‌کنند، به دنبال دارد [۱ و ۲]. به همین جهت امکان تولید انرژی از طریق همچویی هسته‌ای به عنوان جایگزین مناسب مطرح شده است [۳].

تعدادی از واکنش‌های همچویی که امید است بتوان از آنها در تولید انرژی در مقیاس صنعتی استفاده کرد عبارتند از:



با استفاده از مدل گداخت حجمی^(۱) در سالهای گذشته، شرایط همچویی و گداخت برای ساقمه‌های سوختی DD، DT و D³He حساب شده‌اند [۴، ۵ تا ۸]. اخیراً نیز برای نخستین بار محاسبات مقدماتی برای ساقمه‌های ^3He³He را انجام داده‌ایم [۹]. با توجه به نتایج تحقیقات اخیر که انرژی ورودی مورد نیاز بالایی را برای گداخت نشان می‌دهد، استفاده از یون‌های پلاریزه شده ^3He را به عنوان راهکاری جهت کاهش انرژی ورودی مورد نیاز برای گداخت بررسی کرده‌ایم.

۲- روش‌های محصورسازی پلاسما

بر اساس معیار لاؤسن [۱۰] که برای سوخت DT با رابطه (۷) داده می‌شود:



۳- شرایط محاسبات در مدل گداخت حجمی

بهره جوش برای یک فرایند همچو شی کامل به صورت زیر تعریف می‌شود [۱۸]:

$$G = \frac{e}{E_0} \int dt \int dr^3 \frac{n_i^2}{A} \langle \sigma u \rangle \quad (9)$$

که در آن e انرژی آزاد شده در هر واکنش همچو شی، n_i چگالی یونی و $\langle \sigma u \rangle$ میانگین سطح مقطع همچو شی به ازای انرژی های مختلف است. در اینجا فاکتور A برای سوخت های دوگانه مثل $H^{11}B$ و D^3He و DT مقدار ۴ و برای سوخت های تک گانه مثل DD و $^3He^3He$ مقدار ۲ را اتخاذ می‌کند. میانگین سطح مقطع همچو شی را نیز می‌توان با انتگرال گیری از توزیع آماری ماکسول-بولتزمان روی تمام سرعت ها به راحتی حساب کرد. مدلی که ما از آن برای محاسبات مربوط به گداخت حجمی استفاده می‌کنیم شامل یکسری تصحیحات و بهینه‌سازیها است که در زیر به برخی از آنها اشاره می‌شود.

- با وجودیکه محاسبات نشان داده‌اند که منظور کردن مقدار مصرف سوخت در طول فرایند همچو شی تصحیح قابل توجهی را تحمل نمی‌کند، ولی به علت واقعی نمودن مقدار مصرف سوخت در طول فرایند، کاهش تدریجی آن در ساچمه منظور شده است.
- هدر روی انرژی در اثر تابش برمژاشترالنگ و جذب مجدد این اشعه در پلاسمای مورد مطالعه و بررسی قرار گرفته است. محاسبه با این مدل نشان‌دهنده اهمیت بیشتر جذب مجدد برمژاشترالنگ توسط پلاسمای فوق چگال می‌باشد.
- بازگرم شدن پلاسمای توسط محصولات باردار همچو شی که در نتایج محاسبات تأثیر بسیار جدی دارد نیز در این مدل لحاظ شده است.

۴- بحث و نتیجه‌گیری

نمودار ۱ به عنوان نمونه‌ای از نتایج محاسبات، تغییرات بهره انرژی با انرژی ورودی اولیه برای ساچمه‌های سوختی با چگالی $5*10^5$ برابر چگالی حالت جامد و برای حجم‌های

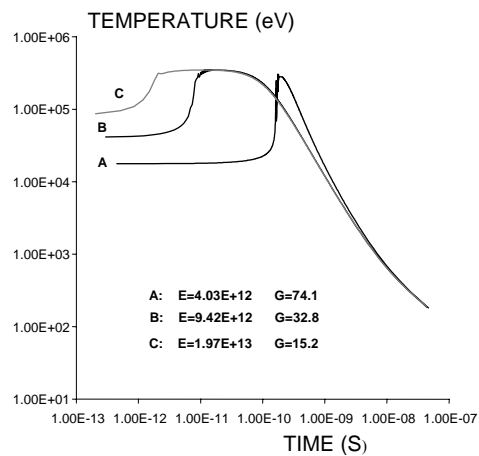
در مدل گداخت جرقه‌ای بلا فاصله پس از متراکم شدن ساچمه سوختی به وسیله پرتو لیزر اولیه تا چگالی تقریباً ۱۰۰۰ برابر چگالی حالت جامد، پرتو لیزر اصلی لایه بیرونی را مشتعل و یکسری امواج ضربه‌ای^(۵) ایجاد می‌کند بطوری که بر همنهی سازنده آنها در مرکز ساچمه دمای کافی را برای ایجاد شرایط همچو شی فراهم می‌آورد و این همچو شی و گداخت به تدریج از مرکز ساچمه تمام حجم آنرا فرا می‌گیرد [۱۶].

در مدل گداخت حجمی که بر اساس نظریه هیدرودینامیک خود مشابهت^(۶) [۱۷] مبتنی است، در صورتیکه پس از مرحله متراکم و رسیدن چگالی ساچمه به n_0 انرژی E_0 توسط پرتو لیزر دوم به سوخت داده شود، تحت شرایطی که سرعت اولیه انساط ساچمه صفر باشد، انساط بی‌درروی ناگهانی موجب ایجاد واکنش گرمای هسته‌ای در تمامی حجم ساچمه می‌گردد که بهره آن از رابطه زیر محاسبه می‌شود:

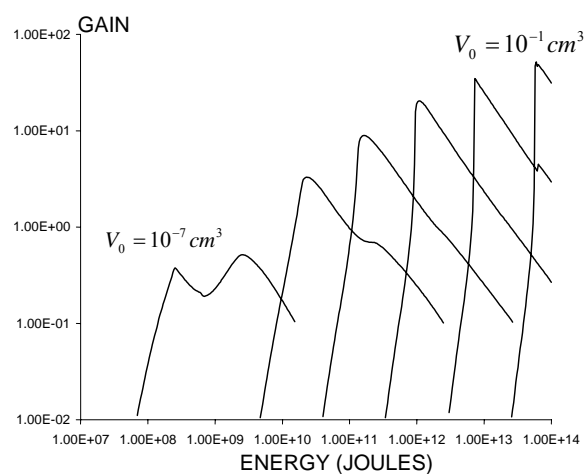
$$G_0 = \left(\frac{E_0}{E_{BE}} \right)^{\frac{1}{3}} \left(\frac{n_0}{n_s} \right)^{\frac{2}{3}} \quad (8)$$

که در آن n_s چگالی حالت جامد و E_{BE} انرژی سر به سر برای واکنش‌های همچو شی است [۱۸ و ۱۹]. رابطه ۸ که به وسیله آن ماکریموم بهره همچو شی در مدل گداخت حجمی حساب می‌شود، رابطه عکس مجدوری حاکم بر انرژی ورودی و چگالی ساچمه پس از متراکم را به خوبی نشان می‌دهد.

آزمایش‌هایی که در دو دهه گذشته در دانشگاه اوساکای ژاپن در زمینه اندازه‌گیری شار نوترونی ناشی از واکنش‌های همچو شی به انجام رسیده است [۲۰]، به تقویت اعتبار نظریه گداخت حجمی در مقایسه با نظریه گداخت جرقه‌ای منجر شده است. در مدل گداخت سریع نیز، که گسترش آن به حدود ۱۰ سال پیش باز می‌گردد، هدف ابتدا تا چگالی یکنواختی متراکم می‌شود. سپس با استفاده از یک لیزر پرتوان (TW-PS) دارای بازه زمانی کوتاه، حفره‌ای در تاج پلاسمای ایجاد می‌شود. در مرحله بعد، الکترون‌های پر انرژی (سریع) تولید شده به وسیله لیزر یک جرقه منتشر شونده گرمای هسته‌ای را در هدف متراکم نسبتاً سرد، تولید می‌کنند [۱ و ۲۱].



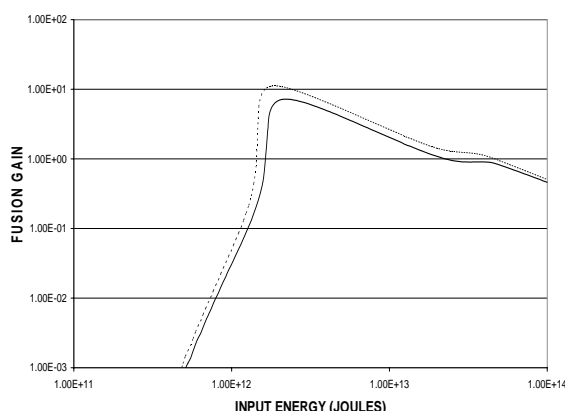
شکل ۲ - نمودار تغییرات دمای ساچمه با زمان برای حجم اولیه ساچمه $n = 5 \times 10^5 * n_0$ و فشردگی $V_0 = 10^{-7} \text{ cm}^3$



شکل ۱ - نمودارهای تغییرات بهره برحسب انرژی ورودی برای فشدگی $n = 5 \times 10^5 * n_0$. حجم اولیه ساچمه در این نمودارها از چپ به راست از 10^{-7} cm^3 تا 10^{-1} cm^3 تغییر می کند.

با استفاده از سطح مقطع برهمنکش ${}^3\text{He} {}^3\text{He}$ در شرایط پلاریزه و مدل گداخت حجمی، بهره انرژی را برای ساچمه های سوختی ${}^3\text{He}$ حساب کرده ایم.

نمودار شکل ۳ نمونه ای از تغییرات بهره انرژی برای ساچمه سوختی با فشردگی $n = 10^5 * n_0$ و حجم $V_0 = 10^{-7} \text{ cm}^3$ برحسب انرژی ورودی را در دو حالت پلاریزه و غیر پلاریزه نشان می دهد. مقایسه نتایج حاصل از پلاریزاسیون در مقایسه با نتایج سوخت غیر پلاریزه حاکی از تغییر شرایط همجوشی ساچمه ها در فضای میدان مغناطیسی نسبت به حالت بدون میدان مغناطیسی می باشد، بطوریکه مثلاً در حالت پلاریزه برای ساچمه فوق الذکر بهره انرژی ۵۴/۹۵ درصد افزایش و انرژی ورودی ۱۶/۸۵ درصد کاهش را نشان می دهد.



شکل ۳ - نمودار مقایسه تغییرات بهره انرژی برای ساچمه ای با فشردگی $n = 10^5 * n_0$ و حجم $V_0 = 10^{-7} \text{ cm}^3$ برای حالت غیر پلاریزه (منحنی معمتم) و پلاریزه (منحنی نقطه چین).

با زمان برای ساچمه ای با حجم $V_0 = 10^{-7} \text{ cm}^3$ و چگالی اولیه $n = 5 \times 10^5$ برابر چگالی حالت جامد برای سه مقدار متفاوت انرژی اولیه GJ, B:9420 GJ, A: 4030 GJ که به ترتیب بهره های انرژی ۷۴/۱، ۳۲/۸ و ۱۵/۲ را دارا هستند، در نمودار ۲ نشان داده شده است. چنانکه ملاحظه می شود نتایج محاسبات نشان می دهد که انرژی اولیه مورد نیاز برای همجوشی سوخت ${}^3\text{He}$ به دلیل سطح مقطع کوچکتر واکنش (۶) در مقایسه با واکنش هایی از قبیل واکنش (۱)، بسیار زیاد می باشد. بطوریکه تأمین این مقدار انرژی از نظر تکنولوژی امروزی غیر ممکن است. بنابراین، این مقدار از دمای اولیه مورد نیاز برای ایجاد شرایط همجوشی، طراحی و ساخت یک نیروگاه همجوشی را که با سوخت پاک ${}^3\text{He}$ کار کند؛ با مشکلات فنی گستردگی مواجه کرده و زمان بسیار طولانی برای رسیدن به فناوری ساخت چنین نیروگاهی را ایجاب می کند. حتی در صورتیکه چنین نیروگاهی در آینده دور ساخته شود از آنجایی که برای رسیدن به بهره های بالا، نیاز به انرژی بسیار بالایی خواهد داشت و بهره برداری از چنین نیروگاهی منوط به سرمایه اولیه کلانی خواهد بود؛ در نتیجه استفاده از این فناوری مهم تنها در انحصار چند کشور ثروتمند جهان قرار خواهد گرفت. با توجه به این نکات پیشنهاد استفاده از سوخت پلاریزه شده ${}^3\text{He}$ به عنوان یک طرح تحقیقاتی مورد مطالعه قرار گرفت.



References:

1. H. Hora, G.H. Miley, "Low cost energy by laser driven nuclear fusion," (Deutsche Physikalische Gesellschaft) Sept(2006).
 2. C.L. Smith, "The need for fusion," Fusion Engineering and Design **74**, 3-8 (2005).
 3. Y. Lechon, y. Lechon, H. Cabal, M. Varela, "A global energy model with fusion" Fusion Engineering and Design **75- 79**, 1141-1144 (2005).
 4. R. Khoda-Bakhsh, H. Hora, G.H. Miley, "Advanced fusion fuel for inertial confinement fusion", the special issue of fusion technology, Fusion Technology, **22, 50** (1992).
 5. رسول خدابخش، « ساچمه های جوش و داشته با لیزر»، مجموعه مقالات دومین کنفرانس بین المللی لیزر و کاربردهای آن، ۱۳۷۲-۱۲۹ .
 6. R. Khoda-Bakhsh, H. Hora, G.H. Miley, "Effects of *DD* reactions on the volume ignition of laser-driven D³He fusion pellets," Fusion Technology, **24**, 28 (1993).
 7. R. Khoda-Bakhsh, "Volume ignition of DT microspheres," Nucl. Instr. and Meth. A **330**, 268 (1993).
 8. R. Khoda-Bakhsh, "Laser interaction and related plasma phenomena", Am. Inst. Phys. New York, 289 (1995).
 9. فاطمه زمانی، رسول خدابخش، « معرفی ساچمه های He³ به عنوان منع سوختی نیروگاههای همجوشی پیشرفته»، چکیده مقالات اولین کنفرانس هسته ای ایران، ۵۷، اسفند ماه ۱۳۸۳.
 10. Lawson, "Some criteria for power producing from thermonuclear reaction," Proc. Phys. Soc. B **70**, 6 (1957).
 11. S.O. Dean, "Opportunities in construction phase of the international thermonuclear experimental reactor," Journal of Fusion Energy, **18**, No.2, (1999).
- علیرغم این تغییرات، به علت نیاز به انرژی ورودی فوق العاده زیاد برای ایجاد گداخت در He³، به نظر نمی‌رسد ساخت و تجهیز مراکز پلاریزاسیون مغناطیسی سوخت در جوار تأسیسات همجوشی در چند دهه آتی به عنوان طرحی عملی قابل بررسی باشد. نتایج این محاسبات نشان می‌دهد که پلاریزاسیون ساچمه‌های He³ در مقایسه با پلاریزاسیون سوخت DD [۲۲] تغییرات قابل ملاحظه‌ای را در جهت بهبود بخشیدن به شرایط گداخت ایجاد نمی‌کند و به تنها ی شرایط تولید انرژی از این سوخت کاملاً تمیز و غیر آلینده را با امکانات تکنولوژی روز و آینده نزدیک فراهم نمی‌کند. با این حال منظور نمودن پلاریزاسیون He³ شرایط همجوشی را بهبود می‌بخشد (در مواردی حتی انرژی ورودی مورد نیاز را تا ۳۴/۸۹ درصد کاهش می‌دهد) و می‌باشد آن را به عنوان یک فاکتور به همراه سایر راههای بهبود بخشیدن به شرایط همجوشی در ساچمه‌های سوختی He³ در نظر گرفت.

پی‌نوشت‌ها:

- ۱- Volume Ignition
- ۲- MCF: Magnetic Confinement Fusion
- ۳- ICF: Inertial Confinement Fusion
- ۴- Spark Ignition
- ۵- Shock Wave
- ۶- Self-Similarity



12. W.D. D'haeseleer, "The importance of fusion development towards a future energy source," *Fusion Engineering and Design*, **66-68**, 3-15 (2003).
13. N.B. Morley, M.A. Abdou, M. Anderson, P. Calderoni, J. Kurtz, "Overview of fusion nuclear technology in the US", *Fusion Engineering and Design*, **81**, 33-43 (2006).
14. D. Pfirsch and K.H. Schmitter, "On the economic prospects of nuclear fusion with tokamaks," *Fusion Technology* **15**, 1471 (1989).
15. H. Hora, "New physics of high temperature and plasmas", *World Science*, Singapore (1991).
16. J. Meyer-ter-Vehn, "On energy gain of fusion targets: The model of Kidder and Bodner improved," *Nucl. Fusion*, **22**, 561 (1982).
17. H. Hora, G.H. Miley, "New avenues to success in laser fusion," *Laser Focus*, **20**(No.2) 59(1984).
18. H. Hora, "Plasma at high temperature and density," Springer Verlag, Heidelberg (1991).
19. H. Hora, "Volume ignition in pellet fusion to overcome the difficulties of central ignition," *Z. Naturforsch* **42 A** 1239 (1987).
20. Yamanaka C. Nakai S. "Thermonuclear neutron yield of 10^{12} achieved with Gekko XII Green Laser," *Nature* **319**, 757(1986).
21. R.R. Freeman, C. Anderson, J.M. Hill, J. King, "High-intensity lasers and controlled fusion," *Eur. Phys. J. D*, **26**, 73-77 (2003).
22. A. E. Dabiri, "An overview of D^3He fusion reactions," *Nucl. Instr. and Meth. A* **271**, 71 (1988).